

مطالعه آزمایشگاهی گودبرداری به روش سیستم ترکیبی شمع و انکراژ*

محمود عبدالمهی^(۱)جعفر بلوری بزاز^(۲)

چکیده در این مقاله با استفاده از تکنیک مدل‌سازی فیزیکی به مطالعه آزمایشگاهی دیوار حائل شمع درجا با مهاربندی انکراژ در خاک ماسه‌ای پرداخته شده است. نتایج کل آزمایش‌ها در این پژوهش حاکی از آن است که نسبت بیشینه تغییر مکان جانبی دیوار به عمق گودبرداری (δ_{nm}/H) در محدوده ۰/۱۴۵٪ الی ۰/۵۱٪ قرار دارد. همچنین، نسبت بیشینه نشست سطح زمین به عمق گودبرداری (δ_{gm}/H) در محدوده ۰/۱۱٪ الی ۰/۷۶٪ اندازه‌گیری شده است. همچنین، در این پژوهش به بررسی مکان بیشینه جابه‌جایی جانبی دیواره، تعیین الگوی نشست سطحی زمین به منظور استفاده برای مطالعات آزمایشگاهی و نیز، تعیین عمق مدفون دیواره شمعی پرداخته شده است.

واژه‌های کلیدی مطالعه آزمایشگاهی، گودبرداری، انکراژ، نشست زمین، تغییر شکل دیوار.

Experimental Study of the Excavation Using Pile-Anchorage System

M. Abdollahi

J. Bolouri Bazaz

Abstract In this paper, a laboratory study of the Bored Pile Retaining Wall with Anchorage Bracing in sandy soils has been conducted. To this end, the physical modeling in laboratory condition was used. The results of the experiments suggest that the ratio of maximum lateral displacement of wall to the depth of excavation (δ_{nm}/H) is in the range of 0.145% to 0.51%. Also, the ratio of maximum ground surface settlement to the depth of excavation (δ_{gm}/H) is estimated in the range of 0.11% to 0.76. Furthermore, this study investigated the location of maximum lateral displacement of the walls, the ground surface settlement pattern to be used in laboratory studies and determination of the depth of penetration pile.

Key Words Laboratory Study, Excavation, Anchor, Ground Settlement, Wall Deflection.

* تاریخ دریافت مقاله ۹۶/۱/۲۸ و تاریخ پذیرش آن ۹۷/۱/۲۰ می‌باشد.

(۱) دانش‌آموخته کارشناسی ارشد، گروه عمران گرایش ژئوتکنیک، دانشگاه فردوسی، مشهد.

(۲) نویسنده مسئول، دانشیار، گروه عمران، دانشکده مهندسی، دانشگاه فردوسی، مشهد.

مقدمه

یکی از مهم‌ترین مسائل رایج در صنعت ساخت و ساز ساختمانی دنیای امروز، نیاز به گودبرداری‌های عمیق در مناطق متراکم شهری می‌باشد. گودبرداری‌های عمیق تأثیر به‌سزایی در تغییر توزیع تنش در لایه‌های خاک و هم‌چنین جابه‌جایی زمین دارند. گودها می‌توانند باعث انحراف جانبی دیوار و حرکت زمین شوند که ممکن است باعث آسیب به ساختمان‌ها و تجهیزات مجاور شود؛ لذا گودبرداری و سازه نگهبان به‌عنوان یکی از مسائل چالش‌برانگیز در مهندسی عمران به‌شمار می‌رود. عدم دقت در طرح، محاسبه و اجرای گودبرداری‌ها و سازه‌های نگهبان مهارکننده در مناطق شهری و در مجاورت ساختمان‌ها، می‌تواند خسارات جانی و مالی گسترده‌ای در پی داشته‌باشد؛ بنابراین تخمین خسارت ناشی از گودبرداری بر روی سازه‌های مجاور گود از اهمیت ویژه‌ای برخوردار است. میزان و شکل جابه‌جایی دیوار ناشی از گودبرداری‌های عمیق بستگی به عوامل گوناگون دارد.

مطالعات زیادی بر روی رفتار دیوار بر اثر گودبرداری‌های عمیق صورت گرفته‌است [1-6]، هم‌چنین، چندین مطالعه بر روی جابه‌جایی‌های زمین ناشی از گودبرداری در رس‌ها انجام شده‌است [7-12]، اما محققان کمی گودبرداری در ماسه‌ها را مورد بررسی قرار داده‌اند [5,13]. از طرفی روش‌های عددی می‌توانند جابه‌جایی‌های ناشی از گودبرداری را پیش‌بینی نمایند، اما اغلب انتخاب یک مدل ساختاری مناسب و تعریف پارامترهای مربوط به خاک از مهم‌ترین عوامل در جهت دستیابی به نتایج دقیق است [14]؛ لذا با استفاده از مدل‌سازی فیزیکی به بررسی اهداف ذکرشده در این پژوهش پرداخته شده‌است. مدل‌سازی فیزیکی یکی از روش‌های معتبر برای بررسی این روش‌ها و تأیید صحت محاسبات می‌باشد. مدل‌سازی فیزیکی عبارت است از ساختن مدل مقیاس‌شده‌ای از ابنیه ژئوتکنیکی و انجام بارگذاری لازم بر روی آن برای شبیه‌سازی شرایط

واقعی. مدل‌سازی فیزیکی هم‌چنین می‌تواند برای صحت‌سنجی نتایج تحلیل‌های عددی به‌کار رود. در منابع فنی روابطی برای انتخاب صحیح نسبت ابعادی وجود دارد که می‌توانند مورد بررسی قرار گیرند. استفاده از مدل‌سازی فیزیکی یا کوچک‌مقیاس روشی است که در مهندسی ژئوتکنیک سابقه‌ای دیرینه دارد. ون [15] اولین کسی بود که استفاده از مدل شمع را گزارش کرد و مطالعات خود را بر روی شمع‌های مایل و قائم متمرکز نمود. هم‌چنین، مطالعاتی در جهت بارگذاری جانبی شمع در خاک‌های چسبنده توسط مدل فیزیکی انجام شد [16]. آزمایش‌های استاتیکی و سایکلیک بر روی گروه‌های شمع مدفون در خاک‌های ماسه‌ای انجام شد و این نتیجه به‌دست آمد که اثر گروه برای زمانی که فاصله شمع‌ها بیش از هشت برابر قطر شمع باشد، ناچیز است [17]. هم‌چنین تست بارگذاری جانبی روی شمع‌های مدل قائم و مایل انجام شد تا معیار طراحی پی برای انجمن مهندسی ارتش آمریکا توسعه داده شود [18].

در پژوهش حاضر سعی شده‌است با ساخت یک مدل آزمایشگاهی، رفتار گودبرداری به‌روش سیستم ترکیبی شمع و انکراژ و به‌ویژه نحوه اعمال پیش‌تندگی انکر در آزمایشگاه مدل شود و رفتار گودبرداری‌های عمیق در مجاورت ساختمان (با اعمال سربار معادل) مورد بحث و بررسی قرار گیرد.

توصیف مدل فیزیکی

همان‌گونه که قبلاً بیان شد در این پژوهش به مطالعه آزمایشگاهی رفتار گودبرداری در خاک ماسه‌ای با استفاده از مدل‌سازی فیزیکی پرداخته شده‌است. به‌منظور رسیدن به اهداف مورد نظر در این پژوهش، مدل فیزیکی شامل یک جعبه فلزی به‌عنوان محیط گود به طول دو متر، عرض و ارتفاع یک متر می‌باشد. هم‌چنین جعبه فوق دارای فضای کافی برای بارگذاری سازه به‌عنوان سربار موجود در مجاورت محل

شکل (۱) نمایی از جعبه آزمایش و مدل مقیاس شده‌ای از سازه مجاور گود را نشان می‌دهد. شایان ذکر است که با استفاده از روابط مدل‌سازی فیزیکی و تشابه ابعادی و باتوجه به بارهای مرده و زنده سازه‌ها، اقدام به تهیه این مدل شده است. هم‌چنین در این شکل طرحی شماتیک از جعبه آزمایش و تجهیزات مورد استفاده در انجام آزمایش‌ها نشان داده شده است. لازم به ذکر است که برای مدل کردن مراحل گودبرداری، از ۱۰ درجه به ارتفاع ۱۰ سانتی‌متر در قسمت جلویی جعبه آزمایش استفاده شده است. با برداشتن هر یک از این دریاچه‌ها، یک مرحله از گودبرداری مدل می‌شود.

گودبرداری می‌باشد. جداره‌های این جعبه توسط طلق‌های شفاف برای مشاهده روند تغییر شکل‌ها پوشانده شده است.

به منظور مدل‌سازی شمعی سیستم سازه نگهبان از تعدادی لوله از جنس پلی‌پروپیلن که مشخصات آنها در جدول (۱) آورده شده است استفاده گردیده است. ابعاد این شمعی‌ها به صورت مقیاس شده نسبت به مدل واقعی انتخاب شده است. شایان ذکر است که مشخصات ارائه شده برای شمعی در جدول (۱) حاصل از برگه‌های اطلاعاتی تهیه شده از کارخانه سازنده می‌باشد. براساس سختی شمعی‌ها و تشابه ابعادی، در نهایت با بررسی گزینه‌های موجود و هم‌چنین داشتن اطلاعاتی نظیر ابعاد هندسی و مدول الاستیسیته مورد نظر، لوله‌های پلی‌پروپیلن برای انجام مدل‌سازی انتخاب گردیده است.

جدول ۱ مشخصات شمعی‌های مورد استفاده در مدل‌سازی فیزیکی

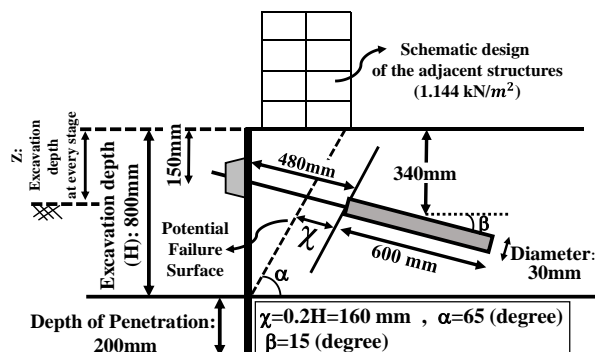
جنس	ضخامت (mm)	قطر داخلی (mm)	قطر خارجی (mm)	طول (mm)	مدول الاستیسه (GPa)
پلی‌پروپیلن	۶/۷	۲۶/۶	۴۰	۱۰۰۰	۲



(ب)



(الف)



(ج)

شکل ۱ (الف) نمای واقعی، (ب) نمایی از انکرهای مورد استفاده در مدل، (ج) مقطع عرضی مدل فیزیکی

شامل حفاری، قرار دادن کابل، تزریق انتها و درانتها کشیدن مهارها می‌باشد. در این پژوهش، یک مدل فیزیکی متشکل از سیستم انکراژ و شمع، طراحی و ساخته شده است. به این منظور با توجه به مدلی واقعی از مطالعات تشابه ابعادی کمک گرفته شده است. شکل (۱-ب و ج) طرحی شماتیک از سیستم انکراژ ساخته شده در جهت انجام مطالعات آزمایشگاهی و نیز ابعاد در نظر گرفته شده برای قسمت‌های مختلف مدل را نشان می‌دهد. شکل (۳) مخزن آزمایش را نشان می‌دهد که با سیستم بارش تا تراز قرارگیری انکر پر شده است. در این مرحله انکرها با زاویه ۱۵ درجه در خاک قرار داده می‌شوند و از جلو به دیوار، بدون اعمال هیچ‌گونه نیرویی متصل می‌شوند. سپس بارش ماسه (در جلو و پشت دیوار) تا پر شدن کامل آن ادامه می‌یابد.



شکل ۳ نمایش سیستم انکراژ قبل از تکمیل شدن مدل فیزیکی

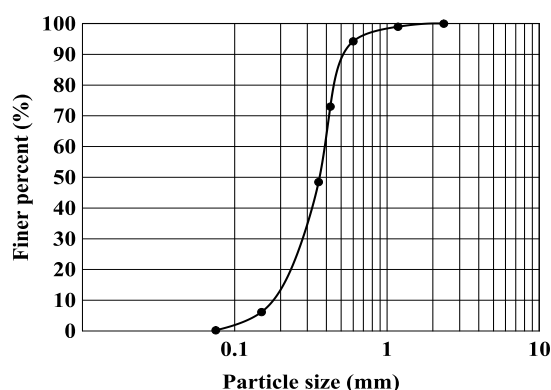
پس از پر شدن کامل مخزن توسط دستگاه بارش ماسه با توجه به دانسیته نسبی مورد نظر، اقدام به خاکبرداری مرحله‌ای مطابق با توضیحات ارائه شده در بخش‌های قبل می‌گردد. خاک‌برداری تا اولین تراز از ردیف انکرها، ادامه می‌یابد. حال نوبت به پیش‌تنیده کردن انکرها می‌رسد. به منظور پیش‌تنیده کردن انکرها در محیط آزمایشگاهی از سیستم کابل و قرقره مطابق با شکل (۴) کمک گرفته شده است.

مصالح

در آزمایش‌های صورت گرفته، از ماسه شکسته سیلیسی استاندارد شماره ۱۶۱ فیروزکوه استفاده شده است. شکل (۲) منحنی دانه‌بندی را ارائه می‌دهد و جدول (۲) نیز بیانگر مشخصات فیزیکی این ماسه می‌باشد.

جدول ۲ خواص فیزیکی ماسه ۱۶۱

وزن مخصوص خشک (kN/m^3)	زاویه اصطکاک داخلی (Degree)	۱۵/۷۵	۴۰
G_s	D_{10} (mm)	۲/۶۵۸	۰/۱۶۷
e_{min}	D_{60} (mm)	۰/۶۰۳	۰/۴۰
e_{max}	Cc	۰/۹۴۳	۱/۰۱۲
	Cu		۲/۳۹۵



شکل ۲ منحنی توزیع دانه‌بندی ماسه فیروزکوه شماره ۱۶۱

انکراژ و پیش‌تنیدگی در مدل فیزیکی

روش انکراژ یا دوخت به پشت، از جمله مهم‌ترین روش‌های اجرای سازه نگهبان است که به‌طور نسبتاً گسترده‌ای مورد استفاده قرار می‌گیرد. در این روش از کابل‌های پیش‌تنیدگی و یا استرندها استفاده می‌شود. قسمت‌های مختلف یک سیستم انکراژ شامل طول قسمت مهارشده و مهارنشده، بلوک بتنی، استرندها و صفحه تکیه‌گاهی و گوه می‌باشد. به‌طور خلاصه مراحل کار در پایدارسازی گودبرداری به روش اجرای مهار

باتوجه به مطالب گفته شده، جزئیات ترتیب مراحل گودبرداری و اجرای مهارها در مطالعات آزمایشگاهی در جدول (۳) آورده شده است.

جدول ۳ جزئیات مراحل گودبرداری و نصب مهارها

عمق گودبرداری (mm)	مراحل گودبرداری	عمق گودبرداری (mm)	مراحل گودبرداری
۵۰۰	مرحله ۵	۱۰۰	مرحله ۱
۶۰۰	مرحله ۶	۲۰۰	مرحله ۲
۷۰۰	مرحله ۷	نصب انکرها	
۸۰۰	مرحله ۸	۳۰۰	مرحله ۳
		۴۰۰	مرحله ۴

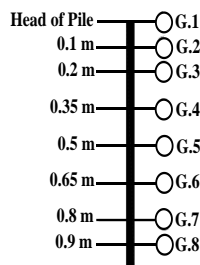
توضیحات تکمیلی پیرامون نحوه گودبرداری در بخش های قبلی آورده شده است. عمق گودبرداری ۸۰۰ میلی متر و عمق نفوذ مجموعه دیواره سازی نگاهبان و شمع معادل ۲۰٪ عمق گودبرداری یعنی ۲۰۰ میلی متر می باشد.

ابزار

شکل (۶) نمایشی از ابزارهای اندازه گیری تغییر مکان جانبی مورد استفاده در مدل سازی فیزیکی در پژوهش حاضر است.

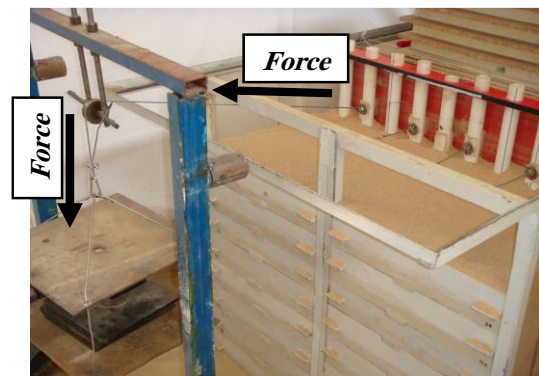


(ب)



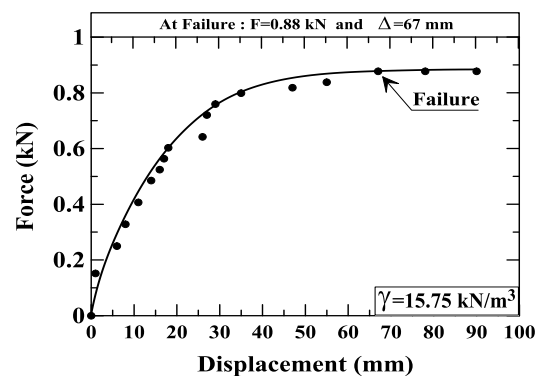
(الف)

شکل ۶ موقعیت قرارگیری گیج های مکانیکی برای اندازه گیری تغییر مکان جانبی، (الف) طرح شماتیک، (ب) در مدل فیزیکی



شکل ۴ پیش تنیده کردن انکرها توسط سیستم کابل و قرقره

آزمون پیش تنیدگی انکر. به منظور تعیین مقدار نیروی پیش تنیدگی نهایی یک انکر مدفون در ماسه، آزمون کشش انجام می گیرد. این آزمون شامل کشش عناصر مسلح کننده پیش تنیده و اندازه گیری میزان بار و جابه جایی متناظر آن می باشد. به منظور انجام این آزمون در محیط آزمایشگاهی به گونه نشان داده شده در شکل (۴) از سیستم کابل و قرقره استفاده شده است. بر این اساس، تغییرات نیروی محوری ایجاد شده در مهار (F) متناسب با جابه جایی اعمالی (Δ) در شکل (۵) ارائه گردیده است. همان گونه که مشاهده می شود مقاومت نهایی مهار حدود ۹۰ کیلوگرم (۰/۸۸ کیلونیوتن) می باشد. در نهایت باتوجه به شرایط اجرایی در پروژه های واقعی، نیروی پیش تنیدگی مهارها برابر با ۴۵ درصد از کل مقاومت نهایی مهار انتخاب می گردد.



شکل ۵ نمودار نیرو- جابه جایی آزمون کشش مهار

تعدادی میله کوتاه به طول ۰/۰۵ متر که به صورت قائم بر روی صفحه جوش داده شده است، استفاده می‌گردد. فواصل مرکز به مرکز میله‌های جوش داده شده بستگی به فواصل شمع‌های دیواره گود دارد. این فواصل در جهت انجام آزمایش‌ها برابر با ۰/۱ و ۰/۱۵ متر انتخاب شده است که از این فواصل برای جوش دادن میله‌ها بر روی صفحه فلزی استفاده گردیده است.



شکل ۷ نحوه مدل نمودن بستر سخت در مدل فیزیکی (فواصل مرکز به مرکز لوله‌های جوش داده شده برابر با ۰/۱ و ۰/۱۵ متر است)

تغییر شکل‌های ناشی از گودبرداری

هنگام گودبرداری به دلیل آزاد شدن تنش، دیواره گود تغییر شکل جانبی می‌دهد که این به نوبه خود نشست زمین را به ویژه در نقاط مجاور گود موجب می‌شود. در بخش‌های زیر تغییر شکل‌های بیان شده، که در طول گودبرداری (در مدل آزمایشگاهی) ایجاد می‌شوند، شرح داده شده است.

جابه‌جایی جانبی دیوار

هنگام گودبرداری، به دلیل تغییرات گسترده سطح تنش، دیواره گود تغییر شکل پیدا می‌کند و تغییر شکل‌هایی را به زمین مجاور و سازه‌های مجاور گود تحمیل می‌کند. با تغییر شکل پیدا کردن سازه نگهبان، خاک پشت دیوار به سمت جلو و پایین حرکت می‌کند و سطح زمین دچار نشست می‌شود. به منظور اندازه‌گیری تغییر مکان جانبی سازه نگهبان مدل فیزیکی، از گیج‌های مکانیکی که در شکل (۶) نشان داده شده‌اند استفاده گردیده است. فواصل قائم بین هر یک از گیج‌ها به گونه‌ای انتخاب

برنامه آزمایش‌ها

به منظور ارزیابی رفتار سازه نگهبان مدل شده در آزمایشگاه، سه پارامتر اصلی شامل فاصله بین شمع‌ها (S/D)، وجود سر بار در مجاورت گودبرداری و نیز گیرداری انتهای شمع‌ها مورد مطالعه و بررسی قرار گرفته است. شایان ذکر است نوع سیستم سازه نگهبان مدل شده از نوع دیوار حائل شمع درجا به همراه مهاربندی انکراژ می‌باشد. در پژوهش حاضر ۸ آزمایش انجام شده است که مشخصات آنها در جدول (۴) آورده شده است. هر آزمایش با یک کد مشخص شده است. حرف دوم که S یا N می‌باشد، بیانگر وجود سر بار در مجاورت گود می‌باشد. حرف سوم نوع گیرداری شمع‌ها را به کف مخزن نشان می‌دهد، در صورت گیردار بودن شمع (بستر سخت) حرف X و در صورت آزاد بودن انتهای شمع (بستر نرم) حرف F آورده شده است. عدد سه رقمی آخر هر کد نیز فاصله مرکز تا مرکز شمع‌ها (mm) است.

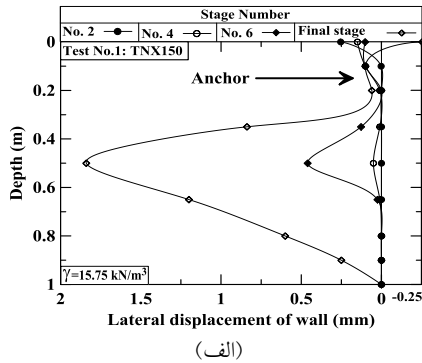
جدول ۴ جزئیات و مشخصات هر آزمایش

ردیف	کد آزمایش	سر بار	وضعیت گیرداری
۱	TNX150	-----	گیردار
۲	TNF150	-----	آزاد
۳	TSX150	با سر بار	گیردار
۴	TSF150	با سر بار	آزاد
۵	TNX100	-----	گیردار
۶	TNF100	-----	آزاد
۷	TSX100	با سر بار	گیردار
۸	TSF100	با سر بار	آزاد

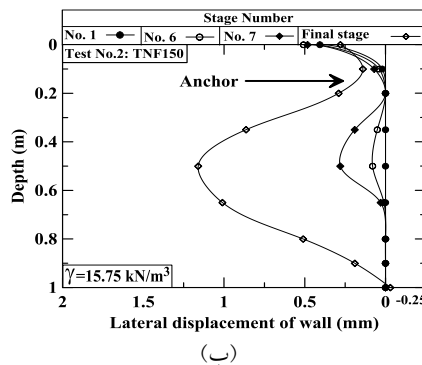
دیوار با پای گیردار (Fixed earth support) (بستر سخت)

شکل (۷) تصویری از صفحات ایجادکننده گیرداری و یا به عبارتی مدل نمودن بستر سخت در انتهای دیواره شمعی می‌باشد. به منظور مدل نمودن گیرداری در انتهای دیواره شمعی (بستر سخت)، از یک صفحه فلزی با

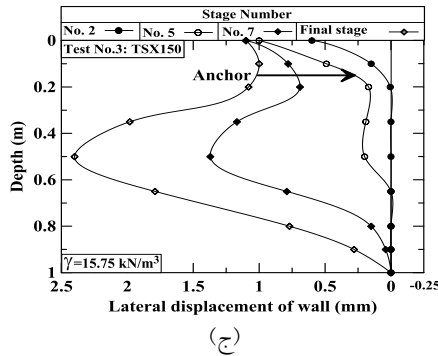
هم خوانی خوبی دارد [4, 5, 19, 0].



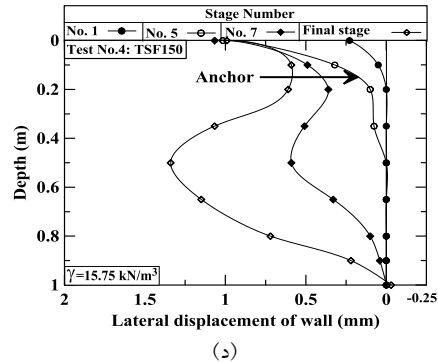
(الف)



(ب)



(ج)



(د)

شکل ۸ نمودارهای جابه‌جایی جانبی دیوار ناشی از گودبرداری (فاصله مرکز به مرکز شمع‌ها ۱۵۰ میلی‌متر)

شده‌اند تا بتوان با داشتن تغییر مکان در طول کل شمع، پروفیل جابه‌جایی دیوار را با دقت مطلوب رسم نمود. جدول (۵) بیشینه جابه‌جایی جانبی دیوار را هنگامی که عمق گودبرداری به پایین‌ترین سطح (H=800 mm) می‌رسد برای هر آزمایش نشان می‌دهد. هم‌چنین در این جدول نسبت بیشینه تغییر مکان جانبی دیوار (δ_{hm}) به عمق گودبرداری (H) نیز ارائه شده‌است.

جدول ۵ مقادیر بیشینه جابه‌جایی جانبی دیوار

عنوان آزمایش	بیشینه جابه‌جایی جانبی دیوار (δ_{hm}) (mm)	δ_{hm} / H (%)
TNX150	۱/۸۴	۰/۲۳
TNF150	۱/۱۶	۰/۱۴۵
TSX150	۲/۴	۰/۳
TSF150	۱/۳۴	۰/۱۷
TNX100	۳/۱	۰/۳۹
TNF100	۱/۷	۰/۲۱
TSX100	۴/۱	۰/۵۱
TSF100	۲/۲	۰/۲۸

نمودارهای جابه‌جایی جانبی دیوار

همان‌گونه که در بخش قبل بیان شد، تغییر مکان‌های جانبی دیواره گود ناشی از گودبرداری در مدل آزمایشگاهی توسط هشت عدد گیج نصب‌شده اندازه‌گیری می‌شود. شکل‌های (۸) و (۹)، مربوط به آزمایش‌هایی است که فواصل شمع‌های سازه نگهبان از یکدیگر به ترتیب برابر با ۱۵۰ و ۱۰۰ میلی‌متر بوده‌است. موقعیت قرارگیری گیج‌های نصب‌شده در ارتفاع دیوار در شکل (۶) نشان داده شده‌است.

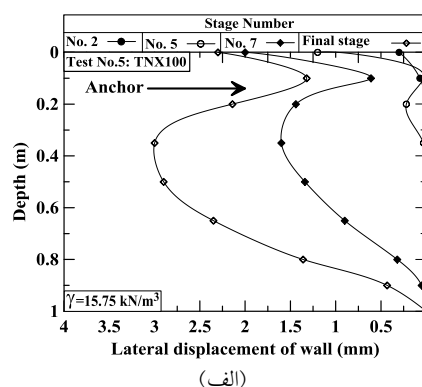
همان‌گونه که در شکل‌های (۸) و (۹) ملاحظه می‌شود جابه‌جایی جانبی دیوار با پیشرفت مراحل گودبرداری افزایش می‌یابد. جابه‌جایی دیوار در مراحل اولیه گودبرداری، دارای رفتاری طره‌ای است و با پیشرفت مراحل گودبرداری و نصب مهارها به رفتار طره‌ای پایه‌دار تغییر پیدا می‌نماید. رفتار مشاهده‌شده در این تحقیق با نتایج به‌دست‌آمده توسط محققان قبلی

برای هر یک از آزمایش‌های انجام‌شده، بیشینه جابه‌جایی جانبی دیوار (δ_{hm}) در آخرین مرحله گودبرداری در جدول (۵) آورده شده است. مقدار δ_{hm} در آزمایش‌ها شماره ۱ الی ۴ در بازه ۱/۱۶ الی ۲/۴ میلی‌متر و برای آزمایش‌های شماره ۵ الی ۸ نیز در بازه ۱/۷ الی ۴/۱ میلی‌متر بوده است. هم‌چنین، نسبت بیشینه جابه‌جایی جانبی دیوار به عمق گودبرداری (δ_{hm}/H) برای آزمایش‌های ۱ الی ۴، در بازه ۰/۱۴۵٪ الی ۰/۳٪ و برای آزمایش‌های ۵ الی ۸ در محدوده ۰/۲۱٪ الی ۰/۵۱٪ قرار گرفته است. این نتایج مطابق با گزارش‌های ارائه‌شده توسط هسیونگ [5]، وانگ و همکاران [6]، مورمن [21]، لانگ [11]، اوو و همکاران [20]، کلاف و ارورک [22] است و حاصل از مطالعات موردی و صحرایی آنها می‌باشد.

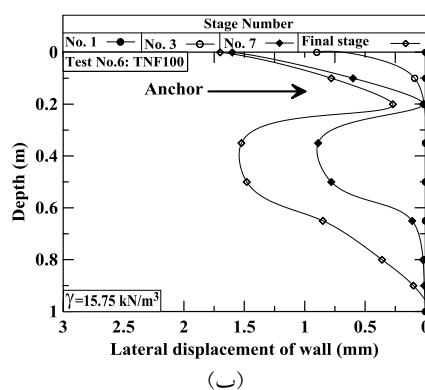
هسیونگ [5] مطالعات کاملی از گودبرداری در ماسه‌ها را ارائه کرد و بیان داشت که نسبت δ_{hm}/H تا ۰/۳٪ اندازه‌گیری شده است. مورمن [21] براساس داده‌های اطلاعاتی از ۵۳۰ مورد تاریخچه مطالعاتی، گزارشی ارائه کرد که در آن مقادیر δ_{hm}/H برای گودبرداری در خاک‌های ماسه‌ای در بازه ۰/۲۵٪ الی ۱٪ قرار داشتند. هم‌چنین لانگ [۱۱] مطابق با ۳۰۰ مورد تاریخچه اطلاعاتی در مورد جابه‌جایی‌های دیوار، بیان داشت که نسبت بیشینه جابه‌جایی جانبی دیوار به عمق گودبرداری (δ_{hm}/H) حدوداً بین ۰/۰۵٪ الی ۰/۲۵٪ قرار دارد. اوو و همکاران [20] مطابق با مشاهدات میدانی خود بیان داشتند که مقادیر δ_{hm}/H در حدود ۰/۵۴٪ قرار دارد.

مکان قرارگیری بیشینه جابه‌جایی جانبی دیواره

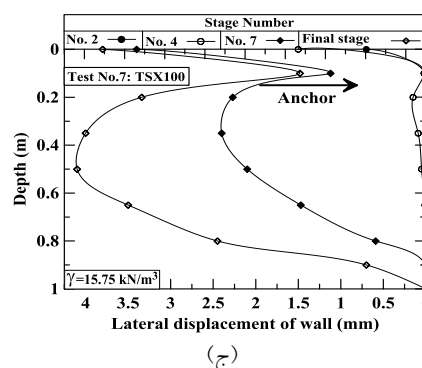
جدول (۶) بیانگر مکان قرارگیری بیشینه جابه‌جایی جانبی دیواره گود ($H\delta_{hm}$) از سطح زمین می‌باشد. مطابق با اکثریت نتایج مشاهده‌شده در آزمایش‌های بخش دوم، مقدار $H\delta_{hm}/H$ در بازه ۰/۴۴ الی ۰/۶۲۵ قرار گرفته است. فقط در آزمایش شماره ۱۲ مکان بیشینه جابه‌جایی جانبی دیواره گود در نزدیکی سطح زمین و یا به عبارتی در قسمت بالای دیواره واقع گردیده است



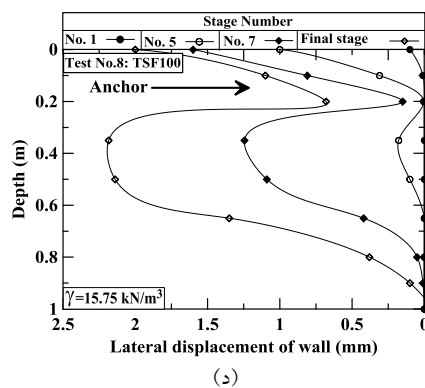
(الف)



(ب)



(ج)

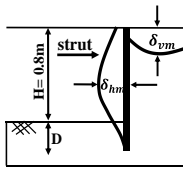


(د)

شکل ۹ نمودارهای جابه‌جایی جانبی دیوار ناشی از گودبرداری (فاصله مرکز به مرکز شمع‌ها ۱۰۰ میلی‌متر)

دیواره (D) به عمق گودبرداری (H) بیان می‌شود. این بدان معنی است که یکی از راه‌های کاهش تغییر مکان دیواره گود، افزایش عمق مدفون دیوار می‌باشد. مطابق با نتایج آزمایش‌ها و جدول مذکور ملاحظه می‌گردد که درصد نسبت D/H برای سیستم ترکیبی شمع و انکراژ در حدود ۲۵٪ اندازه‌گیری شده‌است. شایان ذکر است این نسبت مطابق با نتایج آزمایش‌هایی است که در آنها جابه‌جایی جانبی دیواره (δ_{hm}/H) در حدود تغییر شکل‌های گزارش شده توسط سایر محققان براساس گودهای پایدار می‌باشد. این نسبت با کارهای اجرایی در شرایط واقعی کارگاهی مطابقت دارد و هم‌چنین، نسبت D/H گزارش شده در این پژوهش، مطابق با توصیه‌های پیشنهادی آیین‌نامه FHWA-IF-99-015 برای سیستم انکراژ می‌باشد [24].

جدول ۷ درصد عمق مدفون دیواره شمعی (D/H)

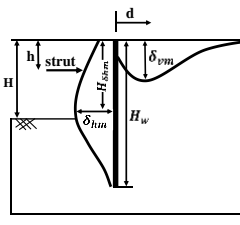
عنوان آزمایش	D (m)	H (m)	D/H (%)	تعریف پارامتر D/H
TNX150	۰/۲	۰/۸	۲۵	
TNF150				
TSX150				
TSF150				
TNX100				
TNF100				
TSX100				
TSF100				

نشست سطحی زمین

بیشینه نشست سطحی زمین (δ_{vm}) ناشی از گودبرداری برای تمامی آزمایش‌های انجام شده در این پژوهش، اندازه‌گیری و نتایج آنها در جدول (۸) ارائه گردیده‌است. در این جدول نسبت بیشینه نشست سطح زمین (δ_{vm}) نسبت به ارتفاع گودبرداری (H) که با پارامتر بدون بُعد δ_{vm}/H نشان داده شده ارائه گردیده‌است. هم‌چنین شکل‌های (۱۰) و (۱۱)، پروفیل نشست سطحی زمین را نشان می‌دهند.

($H\delta_{hm} = 0H$). وانگ و همکاران [6] مطابق با مشاهدات میدانی و براساس مطالعات موردی خود بیان داشتند که مکان بیشینه جابه‌جایی جانبی دیواره گود در عمق $H\delta_{hm} = 0.5H$ تا $H\delta_{hm} = 1.4H$ قرار دارد، اما از طرفی آنها بیان داشتند که در ۴٪ از مطالعات موردی خود، بیشینه جابه‌جایی جانبی دیواره (δ_{hm}) در قسمت بالای دیوار مشاهده گردیده‌است؛ به عبارتی $H\delta_{hm} = 0H$ می‌باشد. تحلیل‌های انجام شده توسط مورمن [21] نشان می‌دهند که بیشینه جابه‌جایی جانبی دیواره برای اکثر گودبرداری‌های عمیق در خاک‌های نرم، در عمق $H\delta_{hm} = 0.5H$ تا $H\delta_{hm} = 1.5H$ در زیر سطح زمین مشاهده و گزارش شده‌اند. بنابراین می‌توان بیان نمود، نتایج گزارش شده در پژوهش حاضر و مقادیر ارائه شده برای $H\delta_{hm}/H$ در جدول (۶)، مطابقت خوب و قابل قبولی با نتایج و مشاهدات صورت گرفته توسط وانگ و همکاران [6]، اوو و همکاران [23] و گزارش‌های ارائه شده توسط مورمن [21] دارد.

جدول ۶ مکان بیشینه جابه‌جایی جانبی دیواره گود ($H\delta_{hm}$)

عنوان آزمایش	$H\delta_{hm}/H$	$H\delta_{hm}$ (m)	طرحی شماتیک از معرفی $H\delta_{hm}$
TNX150	۰/۶۲۵	۰/۵	
TNF150	۰/۶۲۵	۰/۵	
TSX150	۰/۶۲۵	۰/۵	
TSF150	۰/۶۲۵	۰/۵	
TNX100	۰/۴۴	۰/۳۵	
TNF100	۰	۰	
TSX100	۰/۶۲۵	۰/۵	
TSF100	۰/۴۴	۰/۳۵	

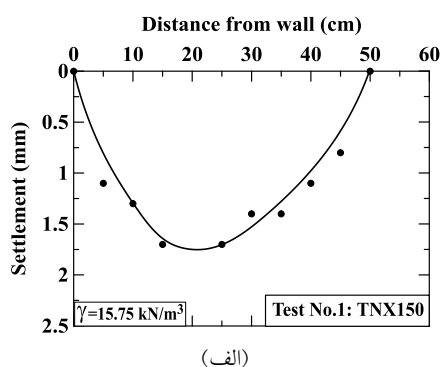
عمق مدفون دیواره گود مهاربندی شده با انکر

در جدول (۷) نسبت عمق مدفون به عمق گودبرداری برای سیستم‌های پایدارسازی دیواره شمع درجا با مهاربندی توسط سیستم انکراژ بیان گردیده‌است. عمق مدفون، حداقل عمقی است که منجر به حداکثر بازده آن می‌گردد. این عمق به صورت نسبت عمق نفوذ

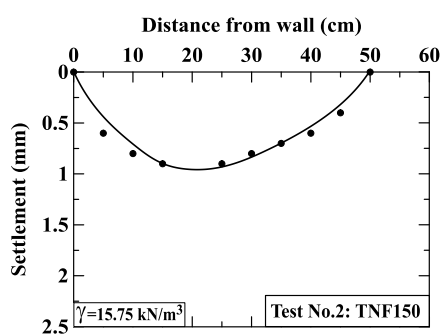
این پژوهش دارد.

جدول ۸ مقادیر بیشینه نشست سطحی زمین

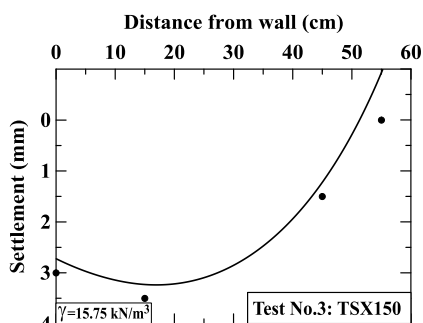
عنوان آزمایش	بیشینه نشست سطحی زمین (δ_{vm}) (mm)	δ_{vm}/H (%)
TNX150	۱۷	۰/۲۱
TNF150	۰/۹	۰/۱۱
TSX150	۳/۵	۰/۴۴
TSF150	۲/۳	۰/۲۹
TNX100	۵/۵	۰/۶۹
TNF100	۴	۰/۵
TSX100	۶/۱	۰/۷۶
TSF100	۴	۰/۵



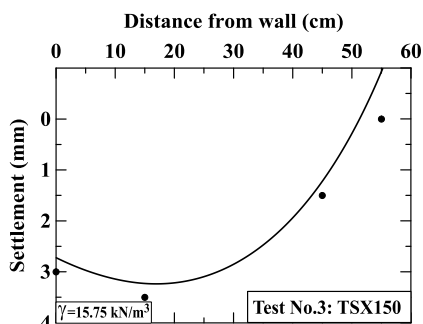
(الف)



(ب)



(ج)



(د)

شکل ۱۰ نمودارهای نشست سطح زمین
(فاصله مرکز به مرکز شمعها ۱۵۰ میلی متر است)

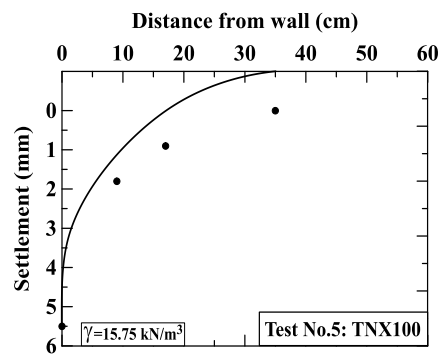
نمودارهای شکل (۱۰) و (۱۱) بیانگر رابطه بین نشست سطح زمین و فاصله از دیوار می باشند. مطابق با شکل های مذکور، با افزایش عمق گودبرداری (H) و یا به عبارت دیگر با پیشرفت مراحل گودبرداری، مقدار بیشینه نشست سطح زمین (δ_{vm}) افزایش پیدا می کند که این مطلب با گزارش های ارائه شده توسط محققان قبلی مطابقت دارد [5, 6, 20]. با توجه به نمودارهای شکل (۹) نسبت بیشینه نشست سطح زمین به عمق گودبرداری (δ_{vm}/H) در بازه ۰/۱۱٪ الی ۰/۴۴٪ و مطابق با نمودارهای شکل (۱۰) در محدوده ۰/۵٪ الی ۰/۷۶٪ قرار گرفته است. این نتایج با گزارش های ارائه شده توسط محققان قبلی از قبیل وانگ و همکاران [6]، هسیونگ [5] و اوو و همکاران [20] مطابقت دارد. نسبت بیشینه نشست سطح زمین به عمق گودبرداری در مطالعات موردی مورمون [21] واقع در خاک های ماسه ای در بازه ۰/۲۵٪ الی ۱٪ قرار گرفته است. مطابق با مشاهدات میدانی هسیونگ [5] در خاک های ماسه ای، نسبت δ_{vm}/H در بازه ۰/۰۹٪ الی ۰/۱۴٪ قرار گرفته است که این بازه کمی کمتر از نتایج مطالعات آزمایشگاهی در این پژوهش می باشد. مطابق با مطالعات موردی وانگ و همکاران [6] که در خاک های نرم انجام شده بودند، نسب بیشینه نشست سطحی زمین به عمق گودبرداری در بازه ۰/۱٪ الی ۰/۸٪ گزارش شده است که مطابقت خوبی با نتایج آزمایش های صورت گرفته در

در آزمایش‌های شماره (۱) و (۲) بالای شمع‌های سازه نگهبان به عقب برگشته بودند و سبب فشردگی خاک در پشت دیواره شده بودند. این مطلب را می‌توان در نمودارهای (الف) و (ب) ارائه شده در شکل (۷) مشاهده نمود. پروفیل نشست خاک در نمودارهای ارائه شده در نمودارهای شکل مذکور به صورت مقعر می‌باشد که این نوع شکل از نشست با مشاهدات صورت گرفته توسط کلاف و اروک [22] در مورد دیوارهای مهار شده و دوخت به پشت می‌باشد. پروفیل نشست خاک در نمودارهای ارائه شده در آزمایش‌های شکل (۱۱) به صورت مثلی بوده است که این نوع شکل از نشست با مطالعات موردی انجام شده توسط او و همکاران [23] مطابقت دارد.

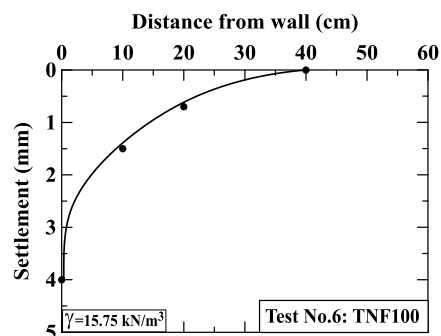
بررسی پارامترهای تأثیرگذار بر تغییر شکل‌های زمین و دیواره گود

در این پژوهش به مطالعه و بررسی تأثیر رفتار گودبرداری در خاک ماسه‌ای پرداخته شده است. در انجام این مطالعات، از سه پارامتر تأثیرگذار از قبیل فواصل بین شمع‌های سازه نگهبان (S/D)، نحوه گودبرداری انتهایی شمع‌ها و نیز، وجود سربار در مجاورت گودبرداری، در جهت بررسی رفتار دیواره گود و نشست سطحی زمین مورد استفاده قرار گرفته است.

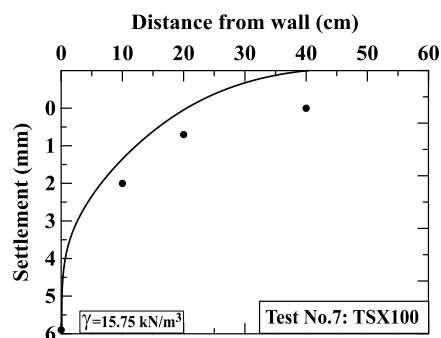
لازم است تا قبل از انجام تحلیل و بررسی نتایج حاصل از آزمایش‌ها به چند مورد اشاره‌ای کوتاه گردد: در مطالعات و آزمایش‌های این پژوهش دو نوع فاصله شمع از قبیل $S1=150mm$ و $S2=100mm$ مطابق با توضیحات ارائه شده در جدول (۴) و فرضیات تحقیق، در نظر گرفته شده است؛ لذا با توجه به مشخصات هندسی جعبه آزمایش و نیز فواصل بین شمع‌ها در حالت $S1$ و $S2$ ، به ترتیب از تعداد ۷ و ۱۰ عدد شمع در آزمایش‌های این پژوهش استفاده گردیده است. از طرفی، براساس آیین‌نامه FHWA، حداقل فاصله افقی بین انکرها بایستی به اندازه‌ای اتخاذ گردد که اثرات گروهی میان انکرهای مجاور به حداقل برسد و از تقاطع انکرها



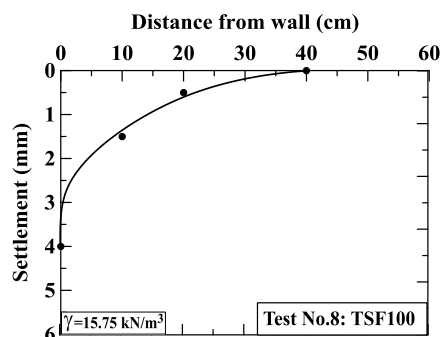
(الف)



(ب)



(ج)



(د)

شکل ۱۱ نمودارهای نشست سطح زمین (فاصله مرکز به مرکز شمع‌ها ۱۰۰ میلی‌متر است)

شمع درجا کاهش داشته است اما از طرفی، با کاهش فواصل بین انکرها و افزایش در تعداد آنها واقع در یک ردیف، سختی مهارها در مدل فیزیکی افزایش داشته است؛ بنابراین با کاهش سختی دیواره شمعی و از طرفی با افزایش سختی سیستم مهار، می توان بیان نمود سختی کل سیستم سازه نگهبان افزایش یافته است و بیشینه جابه جایی جانبی دیواره به مقدار قابل توجهی کاهش پیدا کرده است. این نتیجه مطابق با گزارش های ارائه شده توسط ملکی و همکاران می باشد [۲۵]؛ بنابراین، بامقایسه نتایج آزمایش ها که در جدول های (۵ و ۸) ارائه گردیده است می توان بیان داشت در آزمایش هایی که فواصل بین شمع ها زیاده تر بوده و تعداد انکرها بیشتر مورد استفاده قرار گرفته است، مقادیر جابه جایی جانبی دیواره و نشست سطحی زمین به ترتیب به اندازه ۷۱٪-۴۵٪ و ۳۵٪-۷۲٪ کاهش پیدا کرده است.

در ادامه به بررسی تأثیرگذاری نحوه گودبرداری انتهای شمع ها بر رفتار گودهای مهاربندی شده اقدام شده است. مطابق با نتایج آزمایش ها در ابتدای مراحل گودبرداری تغییر شکل های دیواره گود در حالت پای آزاد بیشتر از حالت پای گیردار می باشد. اگرچه با پیشرفت مراحل گودبرداری، جابه جایی جانبی دیواره گود مهاربندی شده در هر دو حالت افزایش یافته است، اما باتوجه به نتایج بررسی ها می توان بیان نمود به طور کلی تغییر مکان جانبی دیواره در حالت پای گیردار دیرتر و کندتر آغاز شده، لیکن آهنگ رشد آن نسبت به حالت پای آزاد سریع تر بوده است. بنابراین مقدار تغییر مکان نهایی دیواره گود مهاربندی شده در حالت انتهای گیردار نسبت به حالت پای آزاد (بستر نرم) بیشتر بوده است. مطابق با جدول (۵) در صورت گیردار بودن انتهای شمع ها (پای گیردار)، جابه جایی های جانبی دیواره در حدود ۸۱٪-۵۹٪ نسبت به حالت پای آزاد افزایش پیدا کرده است. هم چنین، باتوجه به توضیحات ارائه شده و نتایج آزمایش ها در این پژوهش، مقدار

به دلیل انحراف از حفاری اجتناب شود. تأثیر گروه، ظرفیت باربری انکرها تک را کاهش می دهد [۲۴]؛ بنابراین باتوجه به این مطلب مهم، جدول (۹) معرف تعداد شمع ها و انکرها مورد استفاده در مدل فیزیکی می باشد.

جدول ۹ تعداد شمع ها و انکرها در مدل فیزیکی

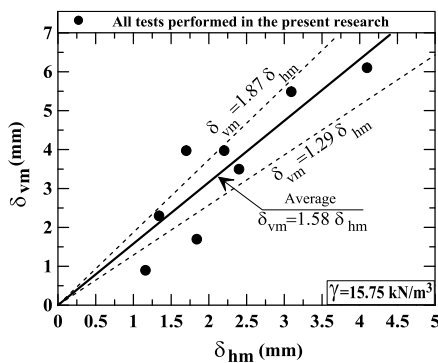
عنوان آزمایش	تعداد شمع ها	تعداد انکرها
TNX150	۷	۷
TNF150		
TSX150		
TSF150		
TNX100	۱۰	۵
TNF100		
TSX100		
TSF100		

باتوجه به توضیحات اخیر، در ابتدا به بررسی و مقایسه تأثیرگذاری پارامتر S/D بر رفتار سازه نگهبان و زمین مجاور اقدام گردیده است. با افزایش فواصل بین شمع ها انتظار می رود که جابه جایی جانبی دیواره و نشست سطحی زمین افزایش پیدا کند؛ اما مطابق با نتایج آزمایش های شماره ۱ الی ۸ که در جدول (۵ و ۸) ارائه شده اند، مشاهده می گردد که با افزایش فواصل بین شمع های دیواره، جابه جایی جانبی دیواره و نشست سطحی زمین به مقدار چشم گیری کاهش پیدا کرده است. پس از انجام بررسی های لازم این نتیجه به دست آمده است که علاوه بر تأثیرگذاری پارامتر S/D (تعداد شمع ها) بر رفتار گودبرداری، پارامتر دیگری در این رفتار نقش دارد و آن وجود انکرها در مدل فیزیکی است. نتایج آزمایش ها حاکی از این مطلب است که تعداد انکرها در مدل نقش پررنگ تر و مهم تری نسبت به پارامتر فواصل شمع ها ایفا می کند. هم چنین این موضوع از منظر سختی سیستم سازه نگهبان قابل توضیح است. با کاهش در تعداد شمع ها، سختی دیواره

جابه‌جایی‌های دیوار و نشست سطح زمین ناشی از گودبرداری ارائه شده‌است از جمله مانا و کلاف [12] او و همکاران [23]، هسی و او [8] نشان دادند که بیشینه نشست سطح زمین در بازه عددی $0.5\delta_{hm}$ الی $1\delta_{hm}$ قرار دارد.

جدول ۱۰ رابطه بین بیشینه نشست سطحی زمین و بیشینه جابه‌جایی جانبی دیوار

عنوان آزمایش	(δ_{vm}) (mm)	(δ_{hm}) (mm)	δ_{vm}/δ_{hm}
TNX150	۱/۷	۱/۸۴	۰/۹۲
TNF150	۰/۹	۱/۱۶	۰/۷۸
TSX150	۳/۵	۲/۴	۱/۴۶
TSF150	۲/۳	۱/۳۴	۱/۷۲
TNX100	۵/۵	۳/۱	۱/۷۷
TNF100	۴	۱/۷	۲/۳۵
TSX100	۶/۱	۴/۱	۱/۴۹
TSF100	۴	۲/۲	۱/۸۲



شکل ۱۲ بیشینه نشست سطحی زمین در مقابل عمق گودبرداری

الگوی نشست سطحی زمین

در شکل (۱۳) رابطه بین نشست سطح زمین به عمق گودبرداری (δ_v/H) و فاصله از گودبرداری به عمق گودبرداری (d/H) برای آزمایش‌های شماره (۱) الی (۸) نشان داده شده‌است. به‌طور کلی توزیع نشست سطحی زمین به فاصله‌ای حدود $1.2H$ از لبه گود گسترش پیدا کرده‌است. در این شکل، توزیع نواحی پیشنهادی

بیشینه نشست سطحی زمین نیز در حالت پای آزاد بسیار کمتر از حالت پای گیردار شمع‌ها مشاهده گردیده‌است؛ لذا مطابق با جدول (۸)، نشست سطحی زمین در صورت آزاد بودن انتهای شمع‌ها (بستر نرم)، در حدود ۹۱٪ - ۳۸٪ کاهش پیدا کرده‌است.

هم‌چنین، پارامتر تأثیرگذار وجود سربار بر رفتار گودهای مهاربندی‌شده مورد بررسی و ارزیابی قرار گرفته‌است. مطابق با جدول (۵) در صورت حضور سربار در مجاورت گودبرداری، جابه‌جایی‌های دیواره در حدود ۳۸٪ - ۱۷٪ افزایش پیدا کرده‌است. هم‌چنین، مطابق با جدول (۹)، مقادیر بیشینه نشست سطحی زمین در حالت وجود سربار در حدود ۱۶۴٪ - ۰٪ بیشتر از حالت عدم حضور سربار در مجاورت گودبرداری افزایش یافته‌است.

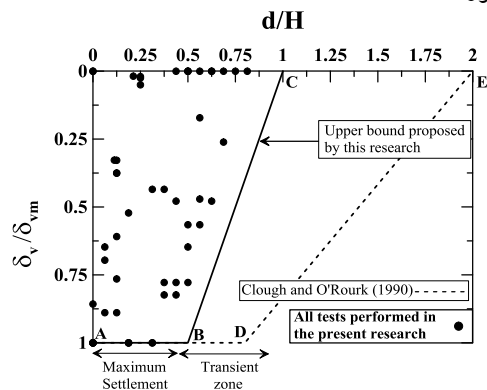
رابطه بین δ_{vm} و δ_{hm}

جدول (۱۰) معرف نسبت بیشینه نشست سطح زمین به بیشینه جابه‌جایی جانبی دیوار $(\delta_{vm}/\delta_{hm})$ می‌باشد. این مقادیر طبق نتایج آزمایش‌های انجام‌شده در این پژوهش بیان شده‌اند. همان‌طور که در جدول مذکور ملاحظه می‌شود نسبت δ_{vm}/δ_{hm} در بازه ۰/۷۸ الی ۲/۳۵ قرار گرفته‌است. این نتایج مطابق با گزارش‌های ارائه‌شده براساس مطالعات موردی توسط محققان مختلف می‌باشد [6, 12, 21, 23, 26].

هم‌چنین، شکل (۱۲) رابطه بین بیشینه نشست سطح زمین و بیشینه جابه‌جایی جانبی دیوار را نشان می‌دهد. مرز بالا و پایین مقادیر بیشینه نشست سطح زمین (δ_{vm}) در بازه $1.29\delta_{hm}$ الی $1.87\delta_{hm}$ قرار گرفته‌است که میانگین مقادیر $1.58\delta_{hm}$ بوده‌است. این مقادیر با بیشینه نشست سطح زمین طبق نتایج گلدبرگ [26] که در بازه $0.5\delta_{hm}$ الی $2\delta_{hm}$ است، مطابقت دارد. هم‌چنین مطابق با نتایج مورمن [21]، مقادیر مذکور در بازه عددی $0.25\delta_{hm}$ الی $1\delta_{hm}$ برای ماسه گزارش شده‌اند. اطلاعات دیگری در رابطه بین

ارزیابی الگوی حداکثر تغییرشکل محتمل زمین در مجاورت گودبرداری به منظور انجام مطالعات آزمایشگاهی، استفاده نمود.

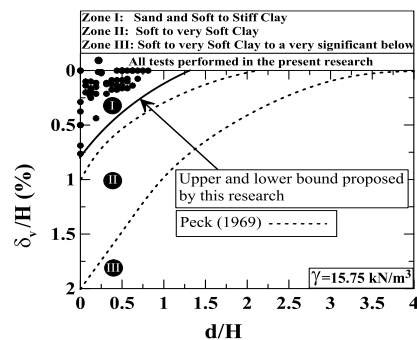
شکل (۱۴) نشان دهنده نشست سطحی زمین نرمال شده توسط بیشینه نشست زمین (δ_v/δ_{vm}) در مقابل فاصله از لبه گود (d/H) می باشد. همان طور که مشاهده می شود، به طور کلی برای آزمایش ها شماره (۴) الی (۸)، بیشینه نشست سطحی زمین در نزدیکی دیواره گود ($d/H=0$) رخ می دهد، یعنی در این حالت $\delta_v = \delta_{vm}$ می باشد؛ اما در آزمایش های شماره (۱) الی (۳)، نشست سطحی زمین در نزدیکی دیواره در حدود $0.86\delta_{vm} - 0.0\delta_{vm}$ متغیر است. شکل (۱۴) معرف توزیع نشست سطحی زمین حاصل از نتایج آزمایش های انجام شده در این پژوهش می باشد که خط ABC مرز پیشنهادی برای این توزیع معرفی گردیده است. دو منطقه نشست در پوش دوزنقه ای شکل قابل تعریف است. در فاصله $0 \leq d/H \leq 0.5$ (محدوده خط AB) ناحیه ای است که در آن بیشینه نشست سطحی زمین رخ می دهد. در حالی که در فاصله $0.5 \leq d/H \leq 1$ (محدوده خط BC) ناحیه ای تحت عنوان منطقه گذرا وجود دارد که نشست های سطحی زمین از مقادیر بیشینه به مقادیر قابل اغماض کاهش پیدا می کند. منحنی نشست سطحی زمین براساس مطالعات موردی کلاف و ارورک [22] برای خاک های نرم به منظور انجام مقایسه در شکل مذکور نشان داده شده است (خط ADE).



شکل ۱۴ رابطه بین نشست زمین نرمال شده توسط بیشینه نشست در مقابل فاصله از دیوار

نشست سطح زمین توسط پک [27] برای مقایسه نشان داده شده است. همان طور که ملاحظه می گردد، برای تمامی آزمایش های این پژوهش، نشست سطح زمین در ناحیه I واقع گردیده است و مقادیر بیشینه نشست سطح زمین (δ_{vm}) کمتر از $0.76\%H$ می باشد. مطابق با نتایج آزمایش های شماره (۱) الی (۸) و باتوجه به شکل مذکور، بزرگی مقادیر اندازه گیری شده مربوط به نشست سطحی زمین، کمتر از مشاهدات صورت گرفته در شرایط مشابه زمین، توسط مطالعات پک [27] می باشد. شاید کمتر بودن مقادیر نشست سطحی زمین، مربوط به تعداد کم آزمایش های انجام شده در پژوهش حاضر است و شاید دلیل دیگر این باشد که نتایج آزمایش ها در این پژوهش مربوط به بررسی رفتار گوده های مهاربندی شده توسط سیستم شمع و انکراژ بوده است و دیگر سیستم های پایداری را شامل نمی شود. هم چنین، می توان دلیل دیگر را این گونه بیان نمود که استفاده از روش پایداری سازی گود توسط سیستم ترکیبی شمع و انکراژ، موجب کاهش قابل توجه در مقادیر تغییرشکل دیواره و نشست سطحی زمین شده است.

شکل (۱۳) نشان دهنده توزیع نشست سطحی زمین ناشی از گودبرداری می باشد.



شکل ۱۳ توزیع نشست سطح زمین ناشی از گودبرداری

باتوجه به شکل (۱۳)، مرز بالایی یعنی خط منحنی AB برای حفاظت از گودبرداری توسط سیستم ترکیبی شمع و انکراژ، در این پژوهش برای خاک ماسه ای پیشنهاد گردیده است. از این مرز می توان برای تخمین و

نتیجه گیری

در این پژوهش به رفتار دیوار حائل شمع درجا با مهاربندی انکراژ در خاک ماسه‌ای به وسیله مدل‌سازی آزمایشگاهی پرداخته شده است. در آزمایش‌های انجام شده، سه پارامتر تأثیرگذار بر رفتار دیوار شامل فاصله مرکز به مرکز شمع‌های سازه نگهبان، وجود سربار در مجاورت گودبرداری و نیز گیرداری انتهای شمع‌های سازه نگهبان مورد بررسی قرار گرفته است. براساس تفسیر نتایج آزمایش‌ها موارد زیر را می‌توان استنباط نمود:

۱. بیشینه جابه‌جایی جانبی دیوار با پیشرفت مراحل گودبرداری افزایش پیدا کرده است. مقادیر δ_{hm}/H برای حالتی که فاصله مرکز به مرکز شمع‌ها ۱۵۰ میلی‌متر بوده است، در بازه ۰/۱۴۵٪ الی ۰/۳٪ و هم‌چنین برای حالتی که فاصله شمع‌ها به ۱۰۰ میلی‌متر کاهش پیدا کرده است، مقادیر δ_{hm}/H در بازه ۰/۲۱٪ الی ۰/۵۱٪ قرار گرفته‌اند.
۲. بیشینه نشست سطحی زمین با پیشرفت مراحل گودبرداری افزایش پیدا کرده است. مقادیر δ_{vm}/H برای حالتی که فاصله مرکز به مرکز شمع‌ها ۱۵۰ میلی‌متر بوده است، در بازه ۰/۱۱٪ الی ۰/۴۴٪ و هم‌چنین برای حالتی که فاصله شمع‌ها به ۱۰۰ میلی‌متر کاهش پیدا کرده است، مقادیر δ_{vm}/H در بازه ۰/۵۰٪ الی ۰/۷۶٪ قرار گرفته‌اند.
۳. با افزایش فواصل بین شمع‌های دیواره گود، تغییر شکل‌های زمین و دیواره گود به ترتیب به مقدار ۷۱٪-۴۵٪ و ۳۵٪-۷۲٪ کاهش پیدا کرده است. دلیل این کاهش مطابق با بررسی‌های صورت گرفته آن بود که با افزایش تعداد انکرها در مدل، سختی کل سیستم سازه نگهبان افزایش پیدا کرده و به موجب آن تغییر مکان‌های جانبی دیواره و نشست سطحی زمین به مقدار قابل توجهی کاهش یافته است.

۴. باتوجه به نتایج بررسی‌ها می‌توان بیان نمود به‌طور کلی تغییر مکان جانبی دیواره در حالت پای گیردار دیرتر و کندتر آغاز شده، لیکن آهنگ رشد آن نسبت به حالت پای آزاد سریع‌تر بوده است؛ بنابراین مقدار تغییر مکان نهایی دیواره گود مهاربندی شده و به تبع آن، نشست سطحی زمین در حالت انتهای گیردار نسبت به حالت پای آزاد (بستر نرم) بیشتر بوده است. مطابق با نتایج آزمایش‌ها، در صورت گیردار بودن انتهای شمع‌ها (پای گیردار)، جابه‌جایی‌های جانبی دیواره در حدود ۵۹٪-۸۱٪ و نشست سطحی زمین در حدود ۳۸٪-۹۱٪ نسبت به حالت پای آزاد (بستر نرم) افزایش پیدا کرده است.
۵. مطابق با بررسی‌های صورت گرفته براساس نتایج آزمایش‌ها، مشاهده می‌گردد که نسبت δ_{vm}/δ_{hm} در بازه ۰/۷۸ الی ۲/۳۵ قرار گرفته است.
۶. براساس نتایج آزمایش‌ها، به بررسی و تعیین عمق مدفون دیواره اقدام گردیده است. نسبت D/H برای روش پایدارسازی گود توسط سیستم ترکیبی شمع و انکراژ در حدود ۲۵٪ به دست آمده است. این نسبت مطابق با توصیه‌های پیشنهادی توسط آیین‌نامه FHWA می‌باشد.
۷. مرز بالا و پایین مقادیر بیشینه نشست سطح زمین (δ_{vm}) در بازه $1.29\delta_{hm}$ و $1.87\delta_{hm}$ قرار گرفته که میانگین مقادیر $1.58\delta_{hm}$ بوده است.
۸. در این پژوهش نمودارهای توزیع نشست سطحی زمین براساس نتایج آزمایش‌ها ترسیم گردیده است. به‌طور کلی توزیع نشست سطحی زمین به فاصله‌ای حدود 1.2H از لبه گود گسترش پیدا کرده است. در این نمودارها دو مرز AB و ABC به‌منظور تخمین و ارزیابی الگوی حداکثر تغییر شکل محتمل زمین در مجاورت گودبرداری برای مطالعات آزمایشگاهی و به‌ویژه مدل‌های فیزیکی بزرگ مقیاس، پیشنهاد گردیده است.

مراجع

1. Ou, C. Y., Chiou, D. C., Wu, T. S., "Three-Dimensional Finite Element Analysis of Deep Excavations", *Journal of Geotechnical Engineering*; Vol.122, No.5, Pp. 337-45,(1996).
2. Ou. C. Y., Shiau, B. Y., Wang, I. W., "Three-dimensional Deformation Behavior of the Taipei National Enterprise Center (TNEC) Excavation Case History", *Canadian Geotechnical Journal*; Vol.37, No.2, Pp. 438-48, (2000).
3. Ou, C. Y., *Deep Excavation: Theory and Practice*. Netherlands: Taylor & Francis, (2006).
4. Kung, G. T., Juang, C. H., Hsiao, E. C., Hashash, Y. M., "Simplified Model for Wall Deflection and Ground-Surface Settlement Caused by Braced Excavation in Clays", *Journal of Geotechnical and Geoenvironmental Engineering*; Vol.133, No.6, Pp. 731-47, (2007).
5. Hsiung, B. C. B., "A Case Study on the Behaviour of a Deep Excavation in Sand, Computers and Geotechnics", Vol.36, No.4, Pp. 665-75, (2009).
6. Wang, J. H., Xu, Z. H., Wang, W. D., "Wall and Ground Movements due to Deep Excavations in Shanghai Soft Soils", *Journal of Geotechnical and Geoenvironmental Engineering*; Vol.136, No.7, Pp. 985-94, (2010).
7. Finno, R. J., Atmatzidis, D. K., Perkins, S. B., "Observed Performance of a Deep Excavation in Clay", *Journal of Geotechnical Engineering*; Vol.115, No.8, Pp. 1045-64, (1989).
8. Hsieh, P. G., Ou, C. Y., "Shape of Ground Surface Settlement Profiles Caused by Excavation", *Canadian Geotechnical Journal*; Vol. 35, No.6, Pp. 1004-17, (1998).
9. Hwang, R. N., Moh, Z. C., Wang, C. H., "Performance of Wall Systems during Excavation for Core Pacific City", *Journal of GeoEngineering*; Vol. 2, No.2, Pp. 53-60, (2007).
10. Hwang, R. N., Moh, Z. C., Wang, C. H., "Toe Movements of Diaphragm Walls and Correction of Inclinator Readings", *Journal of GeoEngineering*; Vol. 2, No.2, Pp. 61-71, (2007).
11. Long, M., "Database for Retaining Wall and Ground Movements due to Deep Excavations", *Journal of Geotechnical and Geoenvironmental Engineering*; Vol. 127, No.3, Pp. 203-24, (2001).
12. Mana A. I., Clough, G. W., "Prediction of Movement for Braced Cut in Clay", *Journal of the Geotechnical Engineering Division*; Vol.107, No.6, Pp. 759-77, (1981).
13. Nikolinakou, M. A., Whittle, A. J., Savidis, S., Schran, U., "Prediction and Interpretation of the Performance of a Deep Excavation in Berlin Sand", *Journal of Geotechnical and Geoenvironmental Engineering*; Vol.137, No.11, Pp. 1047-61, (2011).
14. Burland, J. B., Hancock, R. J. R., "Underground Car Park at the House of Commons: Geotechnical Aspects", *The Structural Engineer*; Vol. 55, No.2, Pp. 87-100, (1977).
15. Wen, R. K., "Model Studies of Laterally Loaded Pile Foundations", *Proceedings of the Thirty-Fourth Annual Meeting of the Highway Research Board*. Washington D. C., Pp. 140-52, (1955).
16. Matlock, H., Repperger, E. A., "Theoretical Analysis and Laboratory Studies of Laterally Loaded

- Model Pile Segments", Report to Shell oil Co., Austin, Tex. (1957).
17. Prakash, S., Behavior of pile groups subjected to lateral loads: Thesis (Ph. D.)-University of Illinois at Urbana-Champaign, (1962).
 18. Davisson, M. T, Salley, J. R., "Model Study of Laterally Loaded Piles", *Journal of Soil Mechanics & Foundations Div*; Vol. 96, No.5, Pp. 1605-27, (1970).
 19. Hsiung, B. C. B., Yang, K. H., Aila, W., Hung, C., "Three-dimensional Effects of a Deep Excavation on Wall Deflections in Loose to Medium Dense Sands", *Computers and Geotechnics*; 80 (138-51), (2016).
 20. Ou, C. Y, Liao, J. T, Cheng, W. L., "Builging Response and Ground Movements Induced by a Deep Excavation", *Geotechnique*; Vol. 50, No.3, Pp. 209-20, (2000).
 21. Moormann, C., "Analysis of Wall and Ground Movements due to Deep Excavations in Soft Soil based on a New Worldwide Database", *Soils and Foundations*; Vol.44, No.1, Pp. 87-98, (2004).
 22. Clough, W., O'Rourke, T. D., "Construction Induced Movements of in Situ Wall", *Design and Performance of Earth Retaining Structures. ASCE, GSP. 1990*; 25(439-70, Discussion: ASCE, GT April, Pp. 662-664, (1992).
 23. Ou, C. Y, Hsieh, P. G, Chiou, D. C., "Characteristics of Ground Surface Settlement During Excavation", *Canadian Geotechnical Journal*; Vol. 30, No.5, Pp. 758-67, (1993).
 24. Sabatini, P. J., Pass, D. G., "Bachus RC. Geotechnical Engineering Circular No. 4 . Ground Anchors and Anchored Systems", Rep. No. FHWA-IF-99-015, Federal Highway Administration, Washington D. C., (1999).
 ۲۵. ملکی، م، بائی، ب، بیتنی، ب، «بررسی تأثیر اندرکنش گودبرداری و سازه مجاور آن در تحلیل گودبرداری‌ها در محیط‌های شهری»، فصل‌نامه مهندسی عمران فردوسی، سال ۲۱، شماره ۲، بهار و تابستان ۱۳۸۹، (۲۰۱۱).
 26. Goldberg D. T., Jaworski W. E., Gordon M. D., "Lateral Support System and Underpinning", Rep. No. FHWA-RD-75-129, Federal Highway Administration, Washington D. C., (1976).
 27. Peck, R.B., "Deep Excavation and Tunelling in Soft Ground", *Proc, 7th Int Conf on Soil Mechanics and Foundation Engineering, State-of-the-Art*. Pp. 225-90, (1969).

